

# تأثیر اسیدیته آب و خصوصیات کانی‌شناسی بر روی شاخص دوام وارفتگی توف‌های شمال قزوین

\* محمدحسین قبادی: دانشکده علوم دانشگاه بوعالی سینا همدان  
علیرضا طالب بیدختی، عباس آسیابان‌ها: دانشگاه بین‌المللی امام خمینی (ره)  
گروه زمین‌شناسی مهندسی

تاریخ: دریافت ۹۰/۸/۴ پذیرش ۹۱/۷/۱۴

## چکیده

شاخص دوام وارفتگی<sup>۱</sup>، پارامتر مهندسی مهمی در ارزیابی زوال‌بذری<sup>۲</sup> سنگ‌ها در برابر عوامل هوازدگی شیمیایی و فیزیکی است و ارتباط نزدیکی با ویژگی‌های مکانیکی سنگ‌ها دارد. قابلیت وارفتگی سنگ‌ها و تأثیرپذیری آن‌ها از فرایندهای هوازدگی، از مسائل مهم در طراحی و اجرای پروژه‌های عمرانی و معدنی است. هدف از این پژوهش، بررسی و ارزیابی تأثیر تعداد چرخه‌های آزمایش دوام در شرایط مختلف pH محیط و تأثیر ترکیب کانی‌شناسی بر دوام وارفتگی سنگ است. برای این منظور<sup>۳</sup> نمونه از توف با ترکیب کانی‌شناسی مختلف از رخ‌نمونه‌های شمال شهر قزوین انتخاب شد. آزمایش دوام وارفتگی بر روی نمونه‌ها در پانزده سیکل و با pH‌های متغیر از محلول اسیدی انجام شد. هم‌چنین آزمایش دوام وارفتگی روی نمونه‌ها در شرایط اشباع، بررسی خواص فیزیکی و مکانیکی و بررسی‌های پتروگرافی نمونه‌ها انجام گرفت. به علاوه در پایان سیکل<sup>۴</sup> به منظور ارزیابی تأثیر ترکیب کانی‌شناسی بر روی شاخص دوام، ترکیب کانی‌شناسی نمونه‌ها قبل از انجام آزمایش به همراه رسوبات باقی مانده در کف مخزن دستگاه دوام، با آنالیزهای XRD بررسی شد. نتایج نشان می‌دهد که شاخص دوام وارفتگی نمونه‌ها وابسته به مقدار pH محلول در شرایط اسیدی نیست. بر این اساس میزان دوام وارفتگی نمونه‌ها بیش‌تر از ویژگی‌های کانی‌شناسی، بافتی و میزان هوازدگی است. هم‌چنین همبستگی خوبی بین شاخص بار نقطه‌ای و شاخص دوام وارفتگی در سنگ‌های بررسی شده نشان داده شد.

**واژه‌های کلیدی:** اسیدیته، توف، شاخص دوام وارفتگی، شمال قزوین، ویژگی‌های کانی‌شناسی

\*نویسنده مسئول amirghobadi@yahoo.com

۱. Slake Durability Index

۲. Degradability

### مقدمه

بر اساس تعریف انجمن زمین‌شناسی آمریکا "توف" سنگی است که از متراکم شدن قطعات ولکانیکی با اندازه ذرات کوچکتر از ۴ میلی‌متر تشکیل می‌شود [۱۸]. در گذشته توف‌هایی با سختی و مقاومت متوسط، در ساخت بناها استفاده می‌شد. امروزه با گسترش شهرها و فراوانی ساخت و سازها در ایران، استفاده از این نوع سنگ به عنوان مصالح ساختمانی افزایش یافته است. در حال حاضر در بسیاری از مناطق البرز به دلیل فراوانی، سهولت استخراج و ظاهر زیبا از توف‌ها به عنوان سنگ‌نما، مالون و لاشه سنگ در پروژه‌های مختلف از قبیل ساخت دیواره‌های حائل، پل‌سازی، بلوك جداول معابر، و در تهیه شن و ماسه کوهی استفاده می‌شود. یکی از معايیب رفتاری این توف‌ها در کاربردهای مهندسی، هوازدگی سریع و گستردگی آنها است. این هوازدگی به دو صورت فیزیکی و شیمیایی بر روی سنگ عمل می‌کند و در نهایت منجر به تخریب سنگ می‌شود [۱۹]. مقدار حساسیت سنگ در مقابل هوازدگی و تغییراتی که می‌تواند در برداشته باشد با توجه به شاخص دوام وارفتگی بررسی می‌شود.

بررسی حساسیت و میزان وارفتگی سنگ‌ها، از فاکتورهای اساسی در ارزیابی رفتار مهندسی مصالح سنگی در پروژه‌های ژئوتکنیکی است [۶، ۷، ۱۰، ۱۲، ۱۳، ۱۷]. شاخص دوام وارفتگی به ویژه برای سنگ‌های سست از قبیل گل سنگ، ماسه سنگ‌های حاوی رس و سنگ‌های آذرآواری هوازده، پارامتر مهندسی مهمی در زمینه پایداری شبکه‌های سنگی و پایداری فضاهای زیرزمینی است.

یکی از مهم‌ترین آزمایش‌هایی که برای ارزیابی دوام پذیری سنگ‌های سست مورد توجه قرار می‌گیرد، آزمایش دوام وارفتگی است که فرانکلین و چاندرا (۱۹۷۲) پیشنهاد کرده‌اند. عمدۀ پژوهش‌های گذشته در خصوص ارزیابی دوام سنگ‌ها، انجام آزمایش دوام وارفتگی بر اساس دوسیکل بود [۸]. با این وجود برخی محققان تأکید کرده‌اند که انجام آزمایش دوام وارفتگی در دو سیکل برای ارزیابی دوام سنگ‌های حاوی رس مناسب به نظر نمی‌رسد [۵، ۲۱]. یلوسوی و همکاران به منظور ارزیابی دوام وارفتگی ستون‌های مارنی یک معدن زغال‌سنگ از نتایج آزمون دوام وارفتگی براساس پنج سیکل استفاده کردند. آن‌ها نتیجه‌گیری کردند که با

افزایش تعداد چرخه‌های دوام، کاهش چشمگیری در شاخص دوام وارفتگی مشاهده می‌شود. هم‌چنین با آنالیز دانه‌بندی ذرات عبوری، از استوانه مشبك دستگاه دوام نتیجه‌گیری کردند که با افزایش اندازه دانه‌های نمونه‌ها درصد ذرات عبوری از استوانه مشبك دستگاه بعد از انجام پنج سیکل آزمایش، افزایش می‌یابد [۲۰].

تحقیقات بعدی نشان داد که دوام‌پذیری سنگ‌های آرژیلیتی، آواری و آذرآواری بهشت وابسته به خصوصیات پتروگرافی آن‌ها است [۱۳، [۱۶، [۸، [۱۲، [۴]. بنا بر این بررسی خصوصیات کانی شناسی و بافتی سنگ‌ها برای ارزیابی ویژگی دوام‌پذیری الزامی است. عامل‌های زیادی علاوه بر ماهیت سنگ بر روی دوام وارفتگی سنگ تأثیرگذار است که می‌توان به شرایط محیطی، نوع محلول استفاده شده برای آزمایش دوام و نیز تأثیر میزان هوازدگی سنگ اشاره کرد.

دکال و همکاران (۲۰۰۲) با انجام آزمون دوام وارفتگی بر روی انواعی از سنگ‌های رسوبی و آذرآواری نتیجه‌گیری کردند که ویژگی‌های کانی شناسی و بافتی بیشترین تأثیر را روی دوام‌پذیری دارند. هم‌چنین میزان دوام وارفتگی نمونه‌ها را در محلول‌های آب م قطر،  $\text{NaCl}_2$  و  $\text{CaCl}_2$  مورد بررسی قرار دادند و مشخص شد که داوم وارفتگی نمونه‌های بررسی شده با افزایش غلظت کلرید کلسیم و کلرید سدیم موجود در محلول، افزایش می‌یابد [۶].

در سال‌های اخیر محققان به اثر  $\text{pH}$  محلول بر روی دوام وارفتگی سنگ‌ها توجه کرده‌اند [۱۱، [۱۳، [۱۵]. گوپتا و احمد (۲۰۰۷) تأثیر تغییرات  $\text{pH}$  محلول را هم در شرایط اسیدی و هم در شرایط قلیایی بر روی سنگ‌آهک، شیل و سیلیستون با استفاده از آزمون دوام ارزیابی کردند. نتایج تحقیق آن‌ها نشان می‌دهد که دوام سنگ‌های کربناته رابطه مستقیمی با کاهش  $\text{pH}$  دارد و دوام سنگ‌های غنی از کوارتن، فلدرسپار و مسکویت مستقل از  $\text{pH}$  محلول است [۱۳]. قبادی و مومنی (۲۰۱۱) حساسیت دوام سنگ‌های گرانیتی به محلول‌های اسیدی در محیط‌های شهری را با استفاده از نتایج آزمون دوام وارفتگی ارزیابی، و نتیجه‌گیری کردند که ترکیب کانی شناسی و بافت، نقش مؤثرتری نسبت به اسیدیته سیال دارند [۱۱].

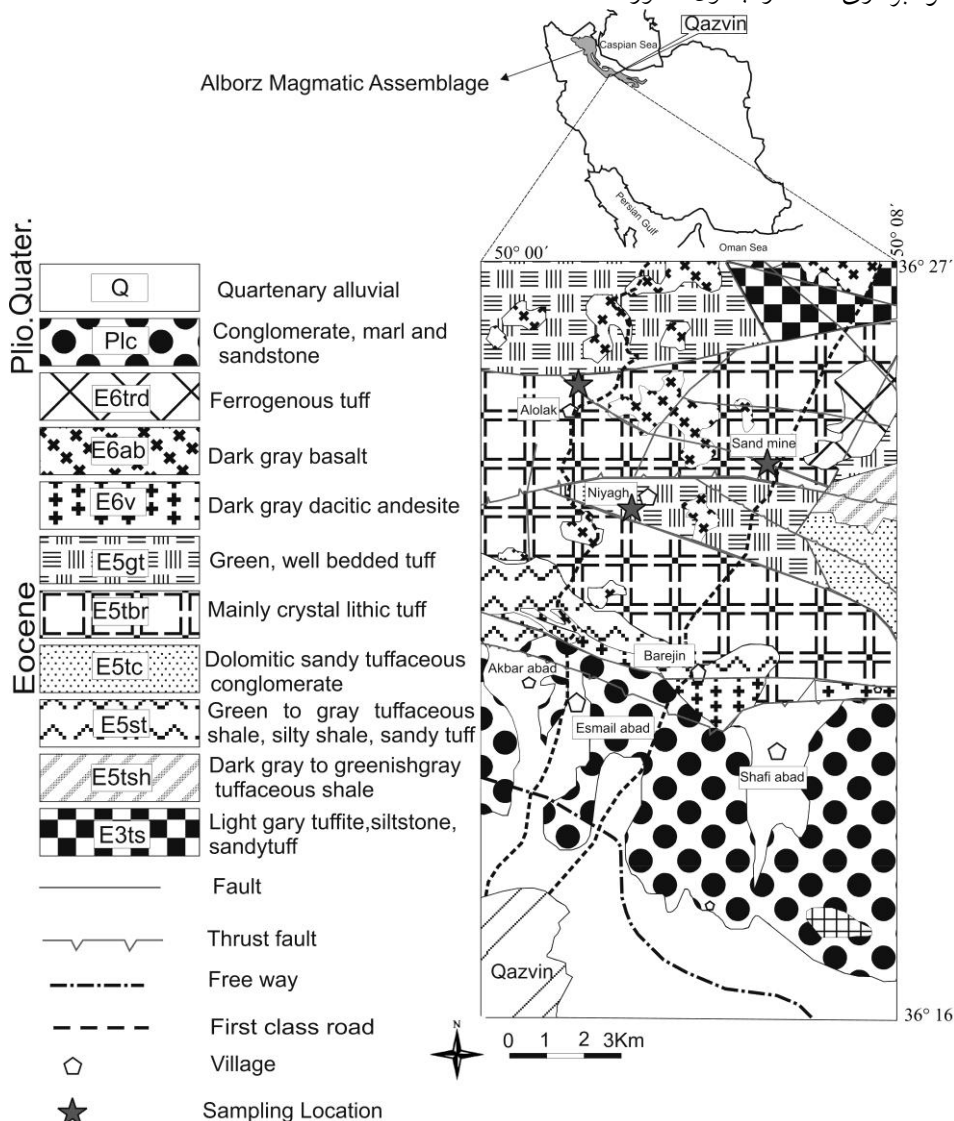
در این تحقیق، تأثیر خصوصیات کانی‌شناسی و بافتی توف‌ها تحت شرایط متغیر pH اسیدی محلول بر روی دوام وارفتگی بررسی شد. هم‌چنین اثر تعداد سیکل‌های آزمایش نیز بر روی شاخص دوام مورد توجه قرار گرفت. در نهایت نتایج شاخص دوام به دست آمده نمونه‌ها با خصوصیات کانی‌شناسی و نتایج مقاومت بار نقطه‌ای مقایسه شد.

### زمین‌شناسی منطقه

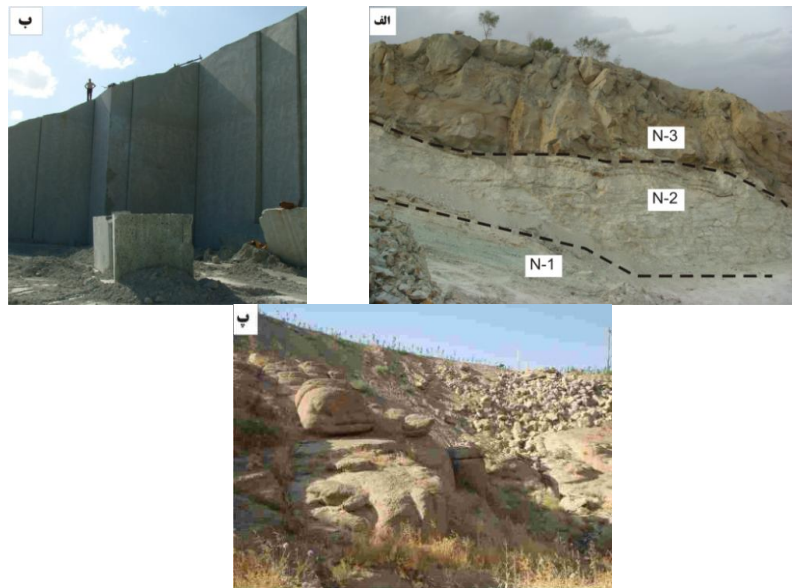
منطقه پژوهش در کمریند ولکانیکی پالتوژن واقع در زون ساختاری البرزگربی دارای رخ‌نمونه‌های سنگ‌های ولکانیکی و ساب ولکانیکی است. از نظر چینه‌شناسی این رخ‌نمونه‌ها به سازند کرج با سن ائوسن میانی-بالایی نسبت داده می‌شود [۳]. سازند کرج به عنوان یکی از شاخص‌ترین واحدهای چینه‌ای البرز شامل توالی نسبتاً ضخیمی از توف‌های سبز رنگ، شیل و گدازه‌های آتشفسانی است. به نظر وatan و یاسینی (۱۹۶۹) این سازند کاملاً استثنایی تقریباً در همه حجم خود از مواد آذرآواری زبردیابی تشکیل شده که همراه آن از طرفی مواد آتشفسانی و نفوذی نظیر گدازه، دایک، سیل و از طرفی دیگر مواد رسوبی نظیر شیل و آهک دیده می‌شود [۲۲]. آن‌چه بیش از همه در سازند کرج دارای اهمیت است توف‌های سبز رنگی است که در نتیجه رسوب‌گذاری مواد آتشفسانی در نزدیکی سطح دریا به وجود آمده است. در محدوده شمال شهر قزوین این سازند از سنگ‌های پیروکلاستیک با تنوع لیتلوزیکی تشکیل شده است که اغلب با میان لایه‌هایی از سنگ‌های رسوبی دیده می‌شوند (شکل ۱). نهشته‌های پیروکلاستیک توف که در انواع مختلف توف شیشه‌ای، لیتیک توف، کریستال توف در حجم‌های عظیم در منطقه پژوهش یافت می‌شوند منبع بزرگی برای تأمین شن و ماسه کوهی و نیز مصالح ساختمانی هستند. از دیدگاه زمین‌شناسی ساختاری، منطقه پژوهش نسبتاً چین‌خورده و بهشدت تکتونیزه است و کتاكت اکثر واحدها گسلی است.

نمونه‌های سنگی بررسی شده در این تحقیق از رخ‌نمونه‌های سنگ‌های آذرآواری موجود در ترانشه‌های معادن روباز گردآوری شده‌اند. بدین‌منظور پنج نوع توف با ترکیب مینرالوژی مختلف انتخاب شد (جدول ۱). موقعیت محل نمونه‌برداری در شکل ۱ نشان داده شده است. واحدهای سنگی انتخاب شده برای نمونه‌برداری ابتدا بر اساس مشاهدات صحرایی و سپس بر

اساس پژوهش‌های پتروگرافی در آزمایشگاه بررسی شد. سه نوع از پنج نوع انتخابی (N-1، N-2 و N-3) از معدن بنتونیت نیاق و دو نمونه دیگر (A-4 و M-5) به ترتیب از معدن سنگ ساختمانی الولک و معدن ماسه کوهی زرشک انتخاب شد (شکل ۲). مشخصات عمومی واحدهای نمونه‌برداری شده در جدول ۱ آورده شده است.



شکل ۱. موقعیت و نقشه زمین‌شناسی منطقه پژوهش [۲]



شکل ۲. نمایی از (الف) معدن بتنیت نیا، (ب) معدن سنگ ساختمانی آولک، (پ) معدن ماسه کوهی زرشک

جدول ۱. توصیف مختصر از واحدهای توفی بررسی شده در منطقه شمال قزوین

| ردیف | توصیف   | شماره واحد توف                          | رنگ |
|------|---|---|-----|
| N-1  | نسبتاً سخت، دارای ریز شکستگی های صفحه‌ای، میکرو کریستالین با لایه‌بندی نازک | سبز روشن                                |     |
| N-2  | سخت، میکروکریستالین و دارای لایه‌بندی متوسط تا ضخیم                         | خاکستری متمایل به سفید                  |     |
| N-3  | نم، درشت بلور، هوازده، درزدار و بسیار ضخیم لایه                             | سبز                                     |     |
| A-4  | سبز متمایل به سفید همراه با شکستگی های بسیار کم                             | سبز متمایل به سفید همراه با لکه‌های سبز |     |
| M-5  | نسبتاً سخت، کریستالین، نسبتاً هوازده، لایه‌بندی ضخیم و دارای شکستگی         | قهقهه‌ای                                |     |

### ویژگی‌های کانی‌شناسی

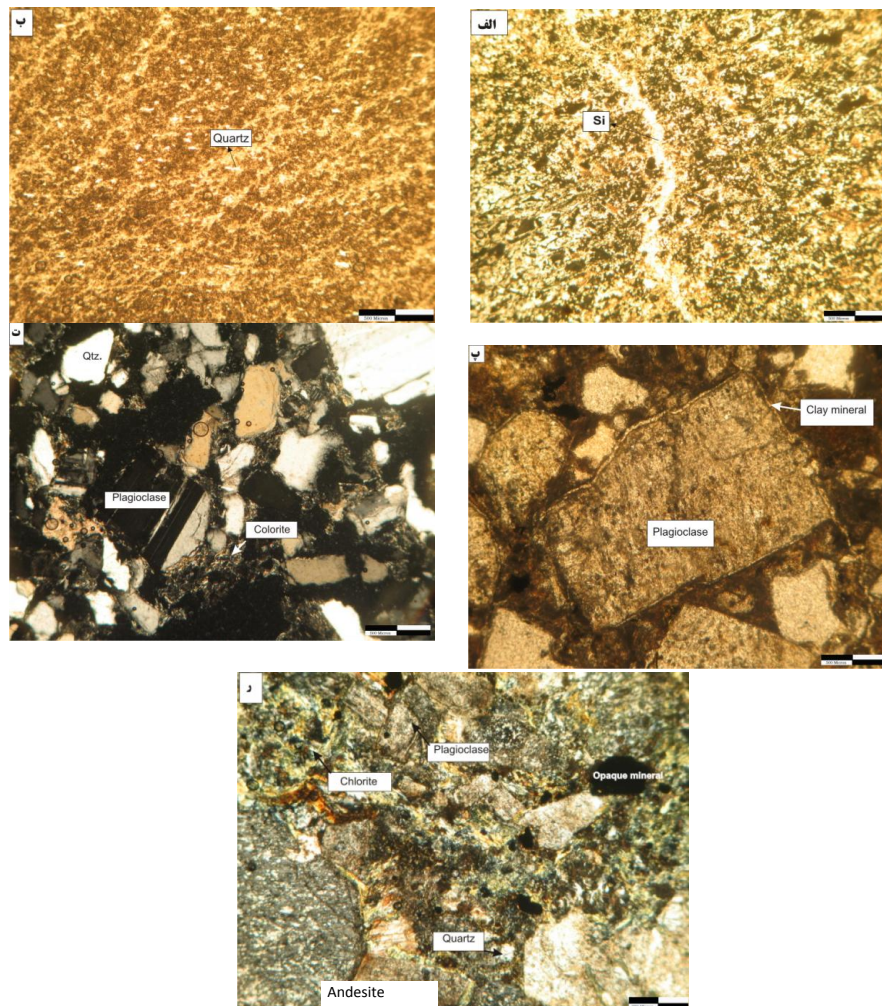
عوامل زمین‌شناسی کنترل‌کننده رفتار مکانیکی سنگ‌ها به دو گروه داخلی شامل خواص و ویژگی‌های سنگ و عوامل خارجی شامل فرایندهایی که در محیط اطراف سنگ در یک بازه زمانی بر روی سنگ تأثیر می‌گذارند، تقسیم می‌شوند. عوامل داخلی شامل ترکیب کانی‌شناسی،

بافت، صفحات ضعف، درجه آتراسیون کانی‌ها، اندازه دانه‌ها، شکل دانه‌ها، دانسیته فشردگی سنگ، درجه درهم قفل‌شده‌گی، نوع کنتاكت، میزان، نوع سیمان یا خمیره (در صورت موجود بودن) است [۹]. در این پژوهش ترکیب کانی‌شناسی و خصوصیات بافتی نمونه‌های سنگ با میکروسکوپ پلاریزان و دستگاه XRD بررسی شد. بررسی‌های میکروسکوپی نمونه‌ها نشان می‌دهد که نمونه N-1 بسیار ریزدانه و دگرسان شده است. اندازه دانه‌های آن کوچک‌تر از ۶۳ میکرون است. بررسی مقاطع نازک این سنگ نشان می‌دهد که تعدادی شکستگی با وضعیت تصادفی با پرشدگی سیلیس در متن سنگ وجود دارد (شکل ۳. الف). نمونه N-2 مانند نمونه N-1 بسیار ریزدانه و دارای خمیره‌ای شیشه‌ای (ویتریک توف) است. نمونه N-3 درشت‌دانه و دانه‌های نیمه، زاویه‌دار و شکسته شده‌اند. میانگین اندازه ذرات بین ۱ تا ۴ میلی‌متر متغیر است. بررسی مقاطع نازک این نمونه نشان می‌دهد که درصد کریستال‌ها بین ۶۰ تا ۶۵٪ و درصد خمیره شیشه‌ای بین ۳۵ تا ۴۰٪ متغیر است. نمونه N-3 توفی بلوری با ترکیب کانی‌شناسی کوارتز (۳۰٪-۳۵٪)، پلازیوکلاز (۲۰٪-۲۵٪) و سانیدین (۰.۵٪) و کانی‌های اوپک (۰.۲٪-۱٪) است. فلدسپات‌های موجود و خمیره در این سنگ بسیار هوازده شده و به کانی‌های رسی آلتره شده است. چنان‌که در شکل ۳ پ نشان داده شده است هوازده‌گی شیمیایی در مرز بین کریستال‌های پلازیوکلاز و خمیره وجود دارد و لایه‌ای از کانی‌های رسی را تولید کرده است. در نتیجه منجر به حساسیت زیاد این سنگ نسبت به جذب آب و کاهش شدید مقاومت آن شده است.

نمونه A-4 توفی بلوری است که شامل ۳۵٪ کوارتز، ۲۵٪ فلدسپار و ۳ تا ۴٪ کانی‌های اوپک و ۰.۲۵٪ شیشه ولکانیکی در خمیره است. به علاوه مقدار کمی کلریت، کلسیت و سیلیس ثانویه در خمیره آن مشاهده می‌شود. متوسط اندازه بلورها بین ۱ تا ۳ میلی‌متر متغیر است. دانه‌ها زاویه‌دار و از درجه درهم قفل‌شده‌گی مناسبی برخوردارند.

نمونه M-5 کریستالی لیتیک توف است که خرد سنگ‌های آن آندزیتی است. بررسی مقاطع نازک این نمونه نشان می‌دهد که درصد خمیره شیشه‌ای بین ۳۰ تا ۳۵٪ و درصد کریستال‌های آن بین ۶۵ تا ۷۰٪ متغیر است. فراوانی پلازیوکلاز (۳۰٪-۳۵٪) بیش‌تر از بیوتیت و کانی‌های اوپک است. در این مقطع اکثر فنوکریست‌های بیوتیت به کلریت آلتره

شده‌اند و نیز دگرسان شدن خمیره شیشه‌ای به کلریت و کانی‌های رسی نیز در مقاطع دیده می‌شود. متوسط اندازه دانه‌ها بین ۱ تا ۵ میلی‌متر متغیر است و کریستال‌ها زاویه‌دار و نیمه شکل دارند. درصد کانی‌های اوپک موجود در مقاطع نازک این نمونه در حدود ۱۰٪ و متوسط اندازه آن‌ها در حدود ۰/۲ میلی‌متر است.



شکل ۳. تصاویر میکروسکوپی مقاطع نازک نمونه‌های توف (الف) نمونه N-1، بسیار ریزدانه (ویتریک توف). ب) نمونه N-2، بسیار ریزدانه (ویتریک توف) ب) نمونه N-3، درشت‌دانه (کریستالین توف) ت) نمونه A-4، درشت‌دانه (کریستالین توف) ر) نمونه M-5 درشت‌دانه (کریستال لیتیک توف)

## روش انجام تحقیق

به منظور انجام تحقیق ده بلوك از سنگ‌های معادن رویاز منطقه پژوهش انتخاب و به آزمایشگاه منتقل گردید. خصوصیات فیزیکی و مکانیکی نمونه‌ها از قبیل وزن واحد حجم خشک، وزن واحد حجم اشباع، درصد جذب آب، تخلخل، وزن مخصوص ویژه و شاخص بار نقطه‌ای هر نمونه تعیین شد (جدول ۲).

جدول ۲. ویژگی‌های فیزیکی و مکانیکی توفهای بررسی شده

| شماره نمونه | وزن واحد حجم (g/cm <sup>3</sup> ) | درصد جذب آب (%)    | تخلخل (n) % | وزن مخصوص ویژه      | شاخص مقاومت بار نقطه‌ای نقطه‌ای (Mpa) |
|-------------|-----------------------------------|--------------------|-------------|---------------------|---------------------------------------|
|             | (γ <sub>d</sub> )                 | (ω <sub>a</sub> )% | (n)         | (γ <sub>sat</sub> ) |                                       |
| N-1         | ۲/۱۱                              | ۸/۱                | ۱۵          | ۲/۵۴                | ۴/۲۳                                  |
| N-2         | ۲/۱۳                              | ۶/۲                | ۱۳/۴        | ۲/۴۵                | ۶/۴۷                                  |
| N-3         | ۲/۰۷                              | ۵/۵                | ۱۱/۹        | ۲/۳۴                | ۱/۷۱                                  |
| A-4         | ۲/۲۵                              | ۴/۱                | ۹/۴۷        | ۲/۴۸                | ۴/۴۷                                  |
| M-5         | ۲/۳۶                              | ۳/۱                | ۷/۷۵        | ۲/۵۵                | ۶/۲۷                                  |

چنان‌که در بخش قبلی اشاره شد این سنگ‌ها از نظر خصوصیات کانی شناسی و بافتی دارای پنج نوع مختلفند (جدول ۱). آزمایش دوام وارفتگی بر اساس آزمون استاندارد پیشنهاد شده به وسیله انجمن بین‌المللی مکانیک سنگ (۱۹۷۹) انجام گرفت [۱۴]. برای انجام آزمون دوام‌پذیری برای هر نوع سنگ در pH‌های مختلف، ۱۰ قطعه ۴۰ تا ۶۰ گرمی آماده شد. در تهیه نمونه‌ها سعی شد که نمونه‌ها کروی و فاقد گوشته‌های زاویه‌دار باشند. نمونه‌ها در استوانه مشبک در داخل مخزن دستگاه دوام قرار می‌گیرد. ظرف استوانه‌ای با سرعت ۲۰ دور در دقیقه مشبک در داخل مخزن دستگاه دوام قرار می‌گیرد. ظرف استوانه‌ای با سرعت ۲۰ دور در دقیقه و به مدت ۱۰ دقیقه دوران داده می‌شود. سپس بعد از انجام آزمایش و قرار دادن نمونه‌ها در گرمانه افت وزنی نمونه‌ها در پایان هر سیکل محاسبه می‌گردد. به منظور ارزیابی اثر تعداد سیکل‌های آزمایش بر روی دوام وارفتگی، آزمایش دوام وارفتگی در ۱۵ سیکل انجام شد. هم‌چنین به منظور ارزیابی اثر pH آب بر روی میزان انزوا و تخریب توفهای آزمایش دوام

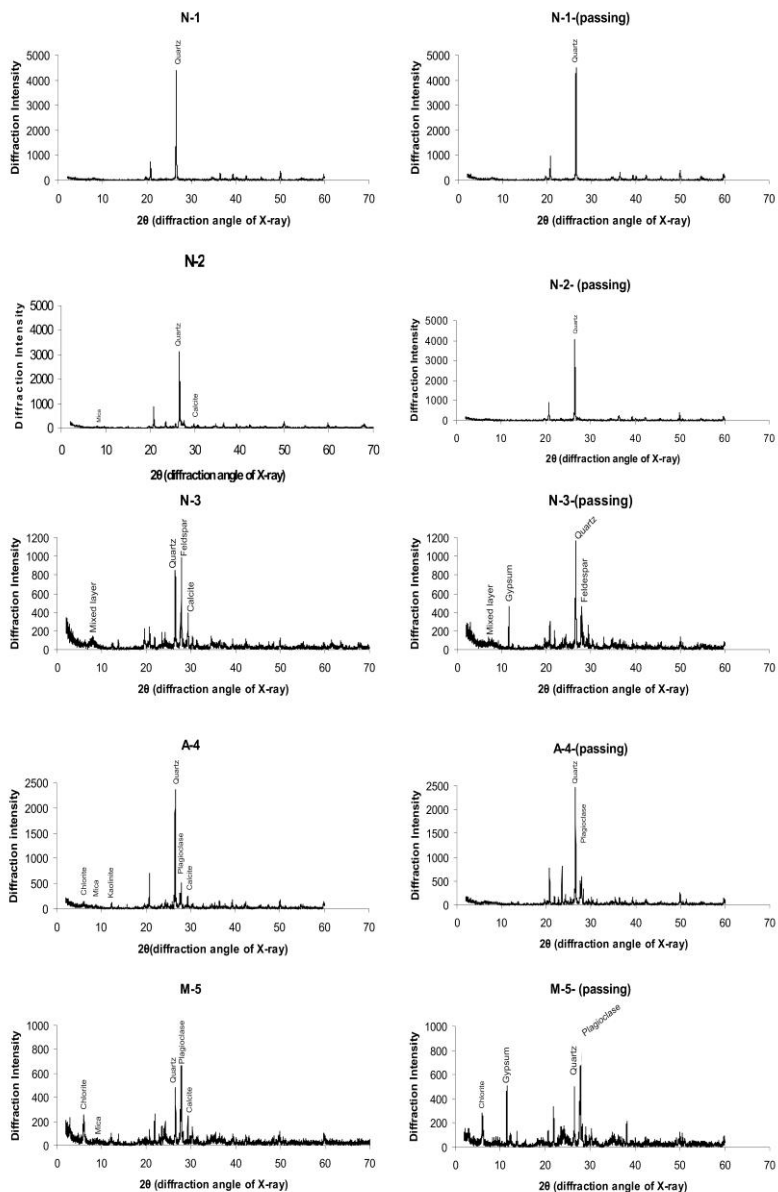
وارفتگی با محلول‌های با  $H^+$ های ۵/۵ و ۲/۵ انجام پذیرفت. محلول‌های اسیدی با اضافه کردن مقدار مناسبی از اسید سولفوریک به آب مقطر تهیه شده است.

به‌منظور بررسی اثر اشیاع شدن نمونه‌ها بر روی زوال سنگ‌ها، آزمایش دوام‌وارفتگی بر روی نمونه‌های اشیاع نیز انجام پذیرفت. در این حالت نمونه‌های دوام خشک شده در آون قبل از انجام آزمایش دوام‌وارفتگی در آب قرار می‌گیرد و اشیاع می‌شوند. علاوه بر این برای ارزیابی تغییرات کانی‌شناسی نمونه‌ها و تعیین نوع کانی‌ها (بهویژه کانی‌های کربناته و رسی) روش متفاوتی به کار برد شد. هدف از این روش ارزیابی نوع کانی‌هایی که از نمونه‌های دوام سنگ در حین آزمایش دوام‌وارفتگی جدا می‌شوند، است. بدین منظور موادی که از توری استوانه مشبک در حین آزمایش خارج شدند و وارد مخزن دستگاه دوام شدند به ظرف شیشه‌ای منتقل شدند و در آون قرار گرفتند و بعد از خشک شدن رسوبات، آنالیز XRD بر روی آن‌ها و همچنین بر روی نمونه‌های سنگ بکر صورت پذیرفت. نتایج آنالیز XRD بر روی نمونه‌های سنگ بکر و نیز رسوبات عبور کرده از استوانه مشبک دستگاه دوام وارفتگی بعد از انجام ۱۵ سیکل آزمایش در شکل ۴ نشان داده شده است.

نتایج آنالیز XRD بر روی سنگ بکر قبل از انجام آزمون و رسوبات باقی‌مانده در کف مخزن دستگاه آزمایش پس از پانزده سیکل انجام آزمون دوام وارفتگی در نمونه‌های A-4، N-3 و M-5 نشان‌دهنده وجود ژپس در رسوبات باقی‌مانده است. در نمونه N-2، کلسیت در رسوبات باقی‌مانده دیده نمی‌شود. رسوبات باقی‌مانده در کف مخزن از نمونه N-3 نشان می‌دهد که درصد کوارتز نسبت به نمونه سنگ بکر افزایش و نسبت فلدرسپار کاهش یافته است (جدول ۳).

### جدول ۳. کانی‌های موجود در سنگ بکر و رسوبات عبور کرده از استوانه مشبک دستگاه بعد از ۱۵ سیکل بر اساس آنالیز XRD

| کانی‌های موجود در سنگ قبل از انجام آزمایش             | کانی‌های موجود در سنگ بعد از انجام آزمایش               | شماره نمونه |
|---|---|-------------|
| کوارتز  | کوارتز  | N-1         |
| کوارتز- میکا  | کوارتز- میکا - کلسیت                                    | N-2         |
| کوارتز- فلدرسپار - ژپس - کانی‌های رسی                 | کوارتز- فلدرسپار - کلسیت - کانی‌های رسی                 | N-3         |
| کوارتز - پلازیوکلاز - کانولیتیت. - کلریت - میکا - ژپس | کوارتز - پلازیوکلاز - کانولیتیت. - کلریت - میکا - کلسیت | A-4         |
| کوارتز - پلازیوکلاز - کلریت - میکا - ژپس              | کوارتز - پلازیوکلاز - کلریت - میکا - کلسیت              | M-5         |



شکل ۴. نتایج آنالیز XRD بر روی نمونه های سنگ بکر (نمودارهای سمت چپ) و رسوبات عبور کرده از استوانه مشبک (نمودارهای سمت راست) بعد از انجام ۱۵ سیکل آزمایش دوام وارفتگی (کدهای مربوط در بالای شکل ها نشان دهنده شماره واحد سنگ ها است).

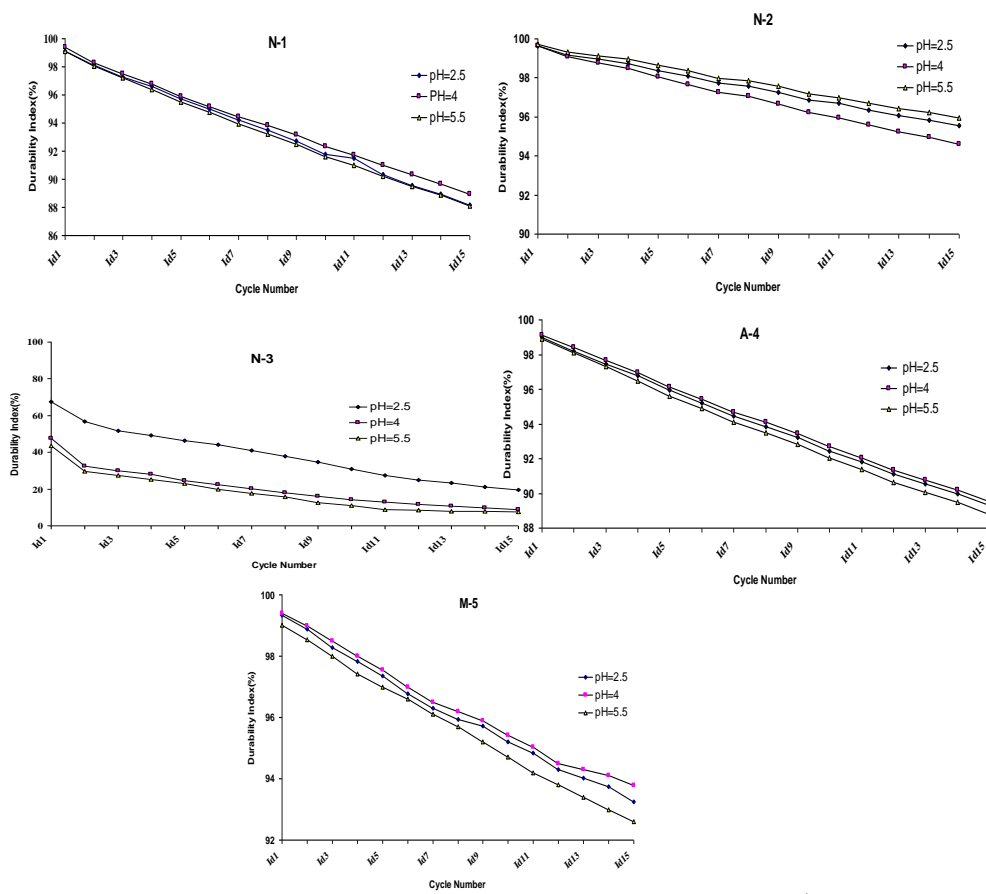
## ارزیابی نتایج

نتایج آزمون دوام وارفتگی بر روی ۵ نمونه از توف‌ها در شکل ۵ نشان داده است.

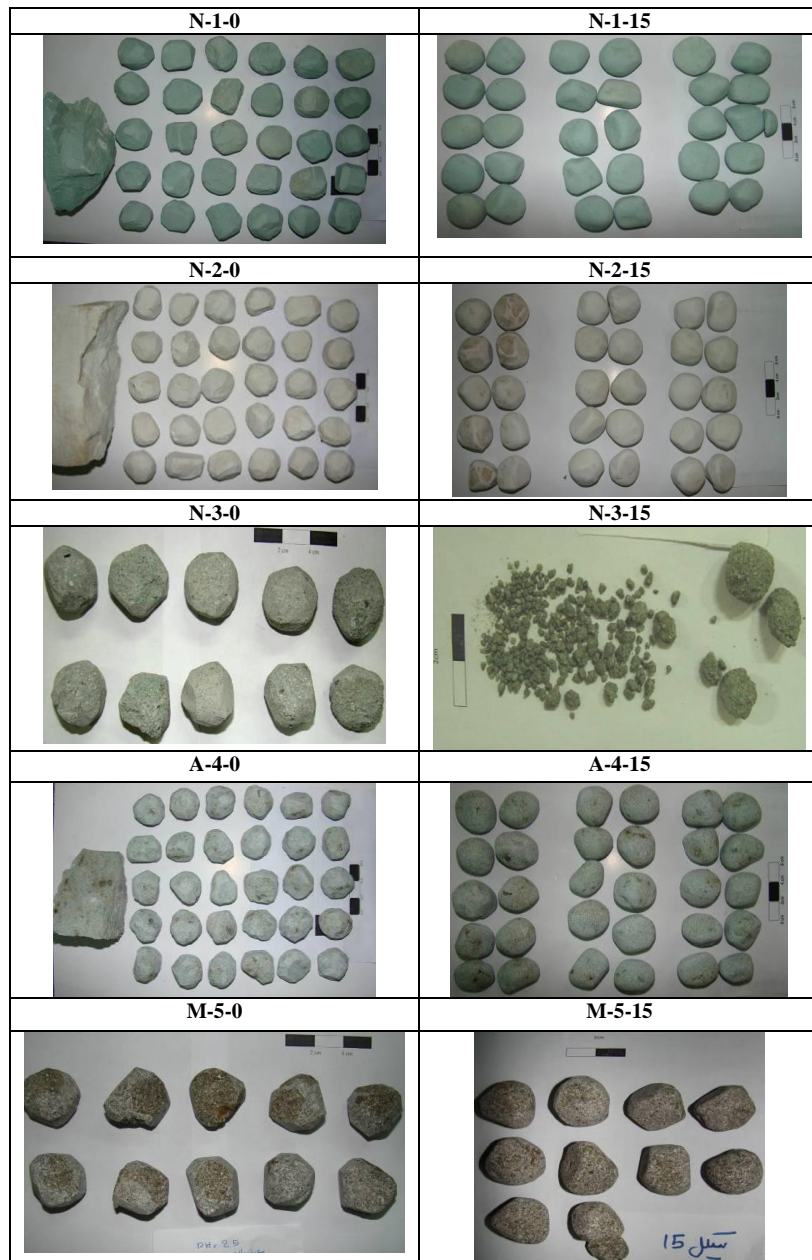
چنان‌که در شکل مشاهده می‌شود مقادیر افت وزنی بین سیکل اول و پانزدهم ( $Id_1$ - $Id_{15}$ ) برای چهار نمونه از توف‌ها (N-1, N-2, A-4, M-5) دارای محدوده نسبتاً نزدیکی است در حالی‌که این مقدار ( $Id_1$ - $Id_{15}$ ) برای نمونه N-3 زیاد و در حدود ۳۰٪ افت وزنی است.

تغییر در شکل نمونه‌های دوام بعد از انجام ۱۵ سیکل آزمایش دوام در شکل ۶ نشان داده است.

این تغییرات به طور مشخصی تفاوت در دوام وارفتگی توف‌ها را نشان می‌دهد.



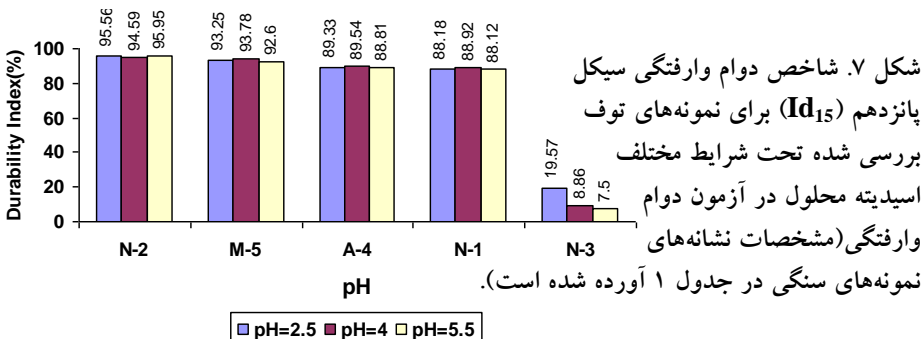
شکل ۵. نتایج آزمایش دوام وارفتگی بر روی نمونه‌های بررسی شده با استفاده از محلول‌های با اسیدیته مختلف (علام موجود در شکل، در جدول ۱ توصیف شده‌اند).



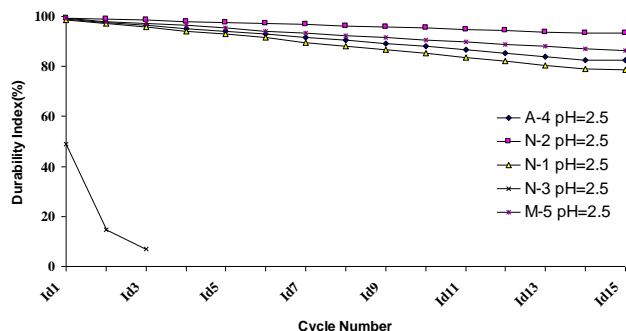
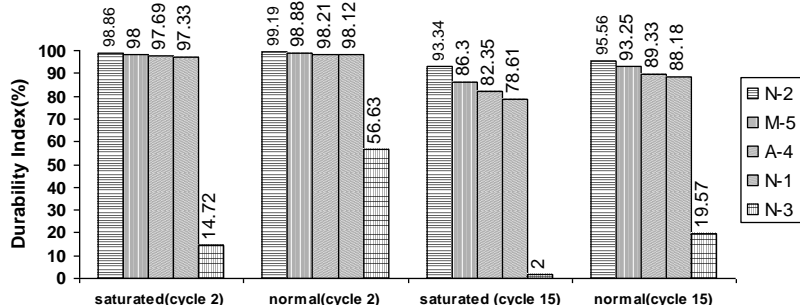
شکل ۶. تغییرات در شکل نمونه و اندازه نمونه‌های دوام بعد از ۱۵ سیکل از انجام آزمون دوام وارفتگی در pH=2.5، کدهای بالای هر عکس نشان‌دهنده نوع سنگ (جدول ۱) و تعداد سیکل آزمون دوام است.

چنان‌که در شکل ۵ و ۷ مشاهده می‌شود هیچ الگوی مشخصی بین شاخص دوام وارفتگی و pH محلول استفاده شده در آزمون دوام وارفتگی وجود ندارد. با این وجود در نمونه N-3 pH افزایش pH شاخص دوام وارفتگی کاهش می‌یابد. نتایج ۱۵ سیکل آزمون دوام وارفتگی نمونه‌های توف در شرایط pH متغیر اسیدی نشان می‌دهد که تأثیر بافت سنگ بر روی شاخص دوام بیشتر از قدرت یونی محلول استفاده شده برای آزمون دوام وارفتگی در شرایط اسیدی است. نمونه N-3 با میانگین شاخص دوام وارفتگی پانزدهم سیکل به میزان ۱۱/۹۷٪ در محلول با pH مختلف که کمترین مقدار شاخص دوام در بین نمونه‌هاست، هوازده، دارای بافت کریستالین، درشت دانه و تخلخل زیاد نسبت به سایر نمونه‌ها است. در حالی که نمونه N-2 با بیشترین میانگین شاخص دوام وارفتگی سیکل پانزدهم در شرایط متغیر pH اسیدی به میزان ۹۵/۲۴٪ داری بافت میکرو کریستالین است. میانگین شاخص دوام وارفتگی برای سیکل ۱۵ بر روی نمونه‌های M-5، A-4 و N-1 در شرایط مختلف اسیدیته محلول مورد آزمایش به ترتیب ٪۹۳/۲۱، ٪۸۹/۲۲ و ٪۸۸/۴۰٪ است که نشان‌دهنده دوام‌پذیری خیلی زیاد است.

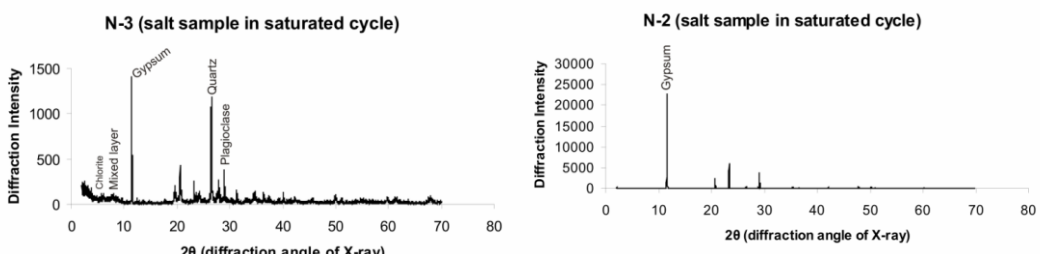
نتایج آزمون دوام وارفتگی بر روی نمونه‌های اشباع در شکل ۸ و ۹ نشان داده شده است. چنان‌که در شکل ۹ مشاهده می‌شود، زمانی که نمونه‌ها در شرایط اشباع تحت آزمایش دوام وارفتگی قرار می‌گیرند شاخص دوام سیکل پانزدهم آنها کم‌تر از حالتی است که به‌طور خشک مورد آزمایش دوام وارفتگی قرار می‌گیرند.



Saturated Samples

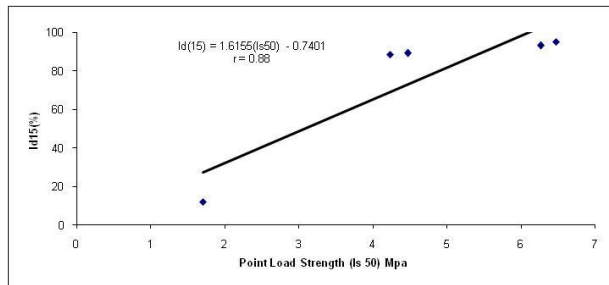
شکل ۸. شاخص دوام وارفتگی سیکل پانزدهم ( $Id_{15}$ ) بر روی نمونه‌های اشباع در  $pH=2.5$ شکل ۹. ارتباط بین شاخص دوام وارفتگی سیکل دوم ( $Id_2$ ) و سیکل پانزدهم ( $Id_{15}$ ) برای نمونه‌های مختلف توف که تحت شرایط اشباع و خشک در  $pH=2.5$  آزمایش شده‌اند.

پس از انجام آزمون دوام وارفتگی بر روی نمونه‌ها در حالت اشباع و انتقال رسوبات کف مخزن دستگاه به ظرف شیشه‌ای و خشک کردن رسوبات، نوعی نمک در رسوب نمونه‌های مشاهده گردید. آنالیز XRD این نمک وجود کانی ژپیس را مشخص کرد (شکل ۱۰).



شکل ۱۰. نتایج آنالیز XRD نمک باقیمانده بر روی رسوبات عبور کرده از استوانه مشبک دستگاه دوام در انتهای سیکل پانزدهم در حالت اشباع برای نمونه‌های N-2 و N-3

نتایج آزمایش‌ها نشان می‌دهد که دوام وارفتگی توف‌های بررسی شده به‌طور مستقیم وابسته به میزان مقاومت آن‌ها است. در شکل ۱۱ ارتباط بین شاخص مقاومت بار نقطه‌ای و شاخص دوام وارفتگی برای انواع توف‌های بررسی شده نشان داده شده است. چنان‌که در شکل ۱۱ نشان داده شده است همبستگی مثبت مناسبی ( $r=0.88$ ) بین دو پارامتر وجود دارد. بنا بر این شاخص دوام با افزایش مقاومت نمونه‌ها افزایش می‌یابد.



شکل ۱۱. رابطه بین مقاومت بار نقطه‌ای و شاخص دوام وارفتگی برای سیکل پانزدهم نمونه‌های بررسی شده

چنان‌که در جدول ۴ نشان داده شده است همبستگی خوبی بین شاخص مقاومت بار نقطه‌ای و مقادیر دوام وارفتگی متنج شده از سیکل‌های مختلف وجود دارد. جدول ۴. معادلات رگرسیون و ضریب همبستگی ( $r$ ) برای ارتباط بین مقادیر شاخص مقاومت بار نقطه‌ای و شاخص دوام وارفتگی در سیکل‌های مختلف

| Cycle number | Equation                         | R    |
|--------------|----------------------------------|------|
| 2            | $Id(2) = 1.1588(Is50) + 31.983$  | 0.85 |
| 5            | $Id(5) = 1.2966(Is50) + 22.435$  | 0.86 |
| 10           | $Id(10) = 1.5097(Is50) + 7.6335$ | 0.87 |
| 15           | $Id(15) = 1.6155(Is50) - 0.7401$ | 0.88 |

### بحث و نتیجه‌گیری

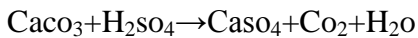
هدف از این پژوهش ارزیابی دوام وارفتگی در محلول‌های اسیدی با  $\text{H}_2\text{O}$ های متفاوت بر روی نمونه توف‌های سازند کرج در شمال قزوین است. نتایج به دست آمده گویای این است که دوام وارفتگی نمونه‌ها عمدتاً تحت تأثیر ترکیب کانی‌شناسی، بافت و شدت هوازدگی سنگ است.

مقادیر به دست آمده از آزمون‌های دوام نشان می‌دهد که الگوی مشخصی بین شاخص دوام وارفتگی نمونه‌های مختلف و pH‌های متفاوت محلول استفاده شده در آزمایش در شرایط اسیدی وجود ندارد.

به نظر می‌رسد. که با کاهش اندازه بافت، شاخص دوام وارفتگی افزایش می‌یابد. بر این اساس توفهای شیشه‌ای شاخص دوام بالاتری نسبت به توفهای بلوری دارند. از این‌رو، نمونه N-2 دارای بالاترین دوام وارفتگی است. کم بودن مقدار دوام نمونه N-1 در مقایسه با دیگر نمونه‌های درشت‌دانه به دلیل حضور ریز شکستگی‌های موجود در زمینه سنگ است.

در نمونه‌های درشت‌دانه مقادیر شاخص دوام وارفتگی به مقدار فلدسپار و میزان هوازدگی آن‌ها بستگی دارد. کاهش شدید در مقادیر دوام نمونه N-3 به دلیل شدت دگرسانی پلاژیوکلاز و وجود کانی‌های رسی و کلریت است. به‌ویژه دگرسان شدن سطح تماس بین پلاژیوکلاز و خمیره عامل مهمی در کاهش شاخص دوام پذیری است. مقادیر به دست آمده از آزمایش‌های دوام‌پذیری نشان می‌دهد که شاخص دوام وارفتگی نمونه‌های اشباع شده کمتر از نمونه‌های اشباع نشده است. با توجه به کافی نبودن زمان لازم برای اشباع نمونه‌ها در طی انجام آزمایش دوام وارفتگی استاندارد (۱۰ دقیقه) توصیه می‌شود برای ارزیابی صحیح شاخص دوام وارفتگی سنگ در طی چرخه‌های خشک و ترشدن متوالی از انجام این آزمون بر روی نمونه‌های اشباع استفاده شود.

نتایج آنالیز XRD نشان می‌دهد در صورت وجود کانی کلسیت به میزان کافی در سنگ‌های بررسی شده، واکنش این کانی با اسید سولفوریک موجود در محلول، مطابق فرمول زیر ژیپس ثانویه تولید می‌کند (جدول ۳). برای نمونه N-2 احتمالاً میزان کلسیت در نمونه سنگ بکر برای انجام واکنش ناچیز بوده است. بنا بر این در مناطق دارای هوای آلوده و با احتمال بارش باران‌های اسیدی استفاده از این نوع سنگ‌ها در نمای ساختمانها توصیه نمی‌شود.



نتایج به دست آمده نشان می‌دهد که با افزایش تعداد سیکل‌های آزمون دوام وارفتگی، پیوند بین دانه‌های موجود در سنگ در اثر تر و خشک شدن متوالی ضعیف‌تر شده و با ادامه

این روند پیوندهای ضعیف گستته شده و دانه‌ها به آسانی از سنگ اولیه خارج می‌شوند. انجام آزمایش دوام در چند سیکل، نتایج قابل استنادتری را برای ارزیابی دوام وارفتگی سنگ‌ها نسبت به انجام دو سیکل فراهم می‌آورد.

نتایج به دست آمده بر اساس مقادیر رگرسیون محاسبه شده ( $r=0.88$ )، بیان‌گر وجود همبستگی قوی بین شاخص بار نقطه‌ای و شاخص دوام وارفتگی است. با وجود رابطه مستقیم بین همبستگی و تعداد سیکل‌های آزمون دوام وارفتگی، با افزایش تعداد سیکل‌ها ضریب همبستگی نیز افزایش می‌یابد.

### سپاس‌گزاری

بدین‌وسیله از زحمات جناب آقای دکتر بهروز رفیعی دانشیار محترم گروه زمین‌شناسی دانشگاه بوعالی سینا در انجام آنالیزهای XRD و همکاری جناب آقای دکتر حسن محسنی استادیار محترم گروه زمین‌شناسی دانشگاه بوعالی سینا برای بررسی مقاطع نازک سنگ، سپاس‌گزاری و قدردانی می‌گردد.

### منابع

1. جمشیدی، ا.، نیکودل، م. ر.، حافظی مقدس، ن.، مقایسه اثر محلول‌های اسید سولفوریک و اسید نیتریک بر دوام وارفتگی نمونه‌هایی از سنگ‌های ساختمانی، مجموعه مقالات دوازدهمین همایش انجمن زمین‌شناسی ایران، جلد دوم (۱۳۸۷) ۱۲۰-۱۲۶.
2. سازمان زمین‌شناسی و اکتشافات معدنی کشور، نقشه زمین‌شناسی چهارگوش قزوین، شماره ۶۰۶۲، مقياس ۱/۱۰۰۰۰، تهران.
3. Asiabanya A., Ghasemi H., Meshkin M., "Paleogene continental-arc type volcanism in North Qazvin", North Iran: facies analysis and geochemistry, E. Schweizerbartsche Verlagsbuchhandlung, Vol.186 (2) (2009) 201-214.
4. Beavis F. C., "Engineering Geology", Blackwell, Melbourne, (1985) 231.
5. Bell F. G., Entwistle D. C., Culshaw M. G., "A geotechnical survey of some British Coal Measures mudstones", with particular emphasis on durability, Journal of Engineering Geology, Vol.46 (1997) 115-129.

6. Dhakal G., Yoneda T., Kato M., Kaneko K., "Slake durability and mineralogical properties of some pyroclastic and sedimentary rocks", *Engineering Geology*, Vol. 65 (2002) 31-45.
7. Dick J. A., Shakoor A., "Characterizing durability of mud rocks for slope stability purposes", *Geological Society of America, Reviews in Engineering Geology*, Vol. 10 (1995) 121-130.
8. Dick J. C., Shakoor A., "Lithological controls of mud rock durability", *Quarterly Journal Engineering Geology*, Vol. 25 (1992) 31-46.
9. Erosy A., Waller M. D, "Textural characterization of rocks", *Engineering Geology*, Vol. 39 (1995) 123-136.
10. Franklin J. A., Chandra A., "The slake durability test, International Journal of Rock Mechanics and Mining Sciences", Vol. 9 (1972) 325-341.
11. Ghobadi M. H., Momeni A. A., "Assessment of granitic rocks degradability susceptive to acid solutions in urban area", *Environmental Earth Science*, Vol. 64 (2011) 753-760.
12. Gokceoglu C., Ulusay R., Sonmez H., "Factor affecting the durability of selected weak and clay bearing rocks from turkey", with particular emphasis on influence of number of drying and wetting cycles, *Engineering Geology*, Vol. 57 (2000) 215-237.
13. Gupta V., Ahmed I., "The effect of pH of water and mineralogical properties on the slake durability (degradability) of different rocks from Lesser Himalaya", India, *Engineering Geology*, Vol. 95 (2007) 79-87.
14. ISRM, "Commission on Standardization of Laboratory and Field tests", suggested methods for determining water content, porosity, density, absorption and related properties and swelling and slake durability index

- properties. International journal rock mechanic mining science, Vol. 16 (1979) 48-156.
15. Kayabali K., Beyaz T., Kolay E., "The effect of the pH of the testing liquid on the slake durability of gypsum", Bull. Eng. Geol. Env. Vol. 65 (2006) 65-71.
  16. Kuhnel R. A., Van der Gaast S. J., Brych J., Laan G. J., Kulnig H., "The role of clay minerals in durability of rocks observations on basaltic rocks", Journalal Applied Clay Science, Vol. 9 (1994) 225-237.
  17. Rodrigues J. G., "Physical characterization and assessment of rock durability through index properties", Applied Sciences, Vol. 200 (1991) 7-34.
  18. Smyth R. C., Sharp J. M., "The hydrology of tuffs, in Heiken, G., ed., Tuff- Their properties, uses, hydrology, and resources, Geological Society of America Special Paper 408 (2006) 91-111.
  19. Steindlberger E., "Volcanic tuffs from Hesse (Germany) and their weathering behavior", Enviromental Geology, Vol. 46 (2004) 378-390.
  20. Ulusay R., Arikan F., Yoleri M. F., Caglan D., "Engineering geological characterization of coal mine waste material and an evaluation in the context of back-analysis of spoil pile instabilities in a strip mine SW Turkey", Engineering Geology, Vol. 40 (1995a) 77-101.
  21. Ulusay R., Ozkan I., Unal E. (1995b) "Characterization of weak stratified and clay-bearing rock masses for engineering applications", in Myer, L. R., et al., eds., Fractured and Jointed Rock Masses Conference, June3-5, Lake Tahoe, CA. A. A. Balkema, Rotterdam (1992) 29-235.
  22. Vatan A., Yasini I., "Geology of alborz mountain around Tehran", University of Tehran, Faculty of Engineering Pub. No.14 (1969) 36-63.